

Allotropické modifikace uhlíku

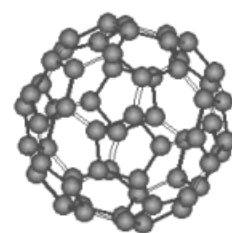
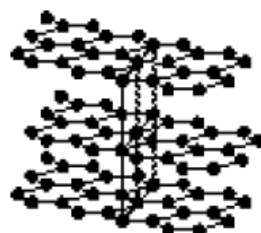
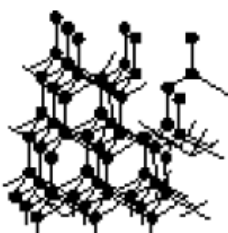
sp^3	
DIAMANT	
CIII – diamant	

sp^2	
GRAFIT	
CI α -grafit	
CII β -grafit	
CVII 1H-grafit	

sp	
KARBYNY	
α -karbyn	
β -karbyn	
CV chaoit	
CVI, CVIII,...,CXIII	

$sp^3 + sp^2 + sp$	
SMÍŠENÉ FORMY	
amorfní uhlík	
skelný uhlík	
uhlíkové saze	
diamond-like-carbon	

sp^n ($1 < n < 3$, $n \neq 2$)	
PŘECHODNÉ FORMY	
$1 < n < 2$	
cyklo(N)uhlíky	
$N = 18, 24, 30, \dots$	
	$2 < n < 3$
	fullereny
	C_x
	$x = \dots, 60, 70, \dots$
	carbon onions
	carbon nanotube
	carbon nanocone

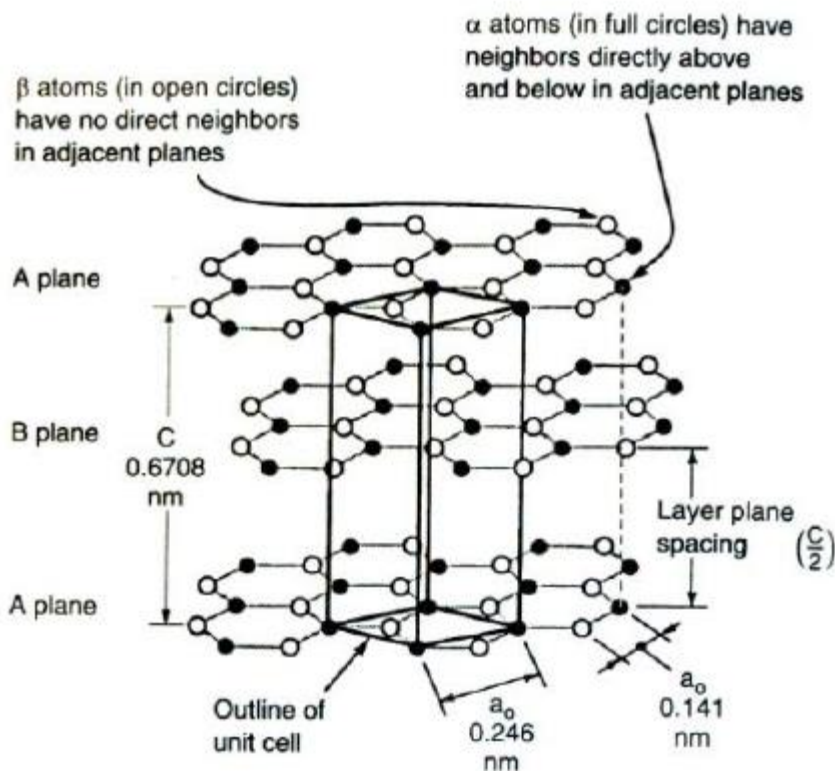


Elektrody na bázi uhlíku

- Homogenní
 - Spektrální uhlík (grafit)
 - Skelný uhlík (glassy carbon)
 - Pyrolytický grafit
 - Uhlíková vlákna
 - Fulereny (1985)
 - Nanotrubice (1991)
 - Diamant
- Heterogenní
 - Uhlíkové pastové elektrody (CPE)
 - Uhlíkové kompozitní elektrody
 - Uhlíkové tištěné elektrody (screen printed)
 - Modifikované uhlíkové elektrody

Uhlíkové elektrodové materiály

Grafit



Levný

Měkký

Elektricky vodivý

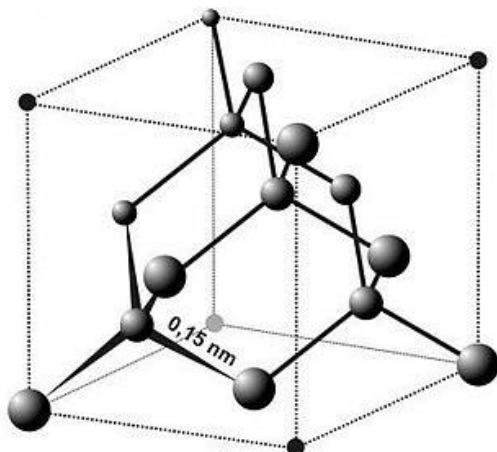
Hustota 2,1-2,3 g.cm⁻³

Pórézní (kromě HOPG) –
v bloku nutná impregnace

Nejčastěji součástí
pastových nebo jiných
kompozitních elektrod

Uhlíkové elektrodové materiály

Diamant



Tvrdý, chemicky odolný

Hustota $3,52\text{-}3,6 \text{ g.cm}^{-3}$

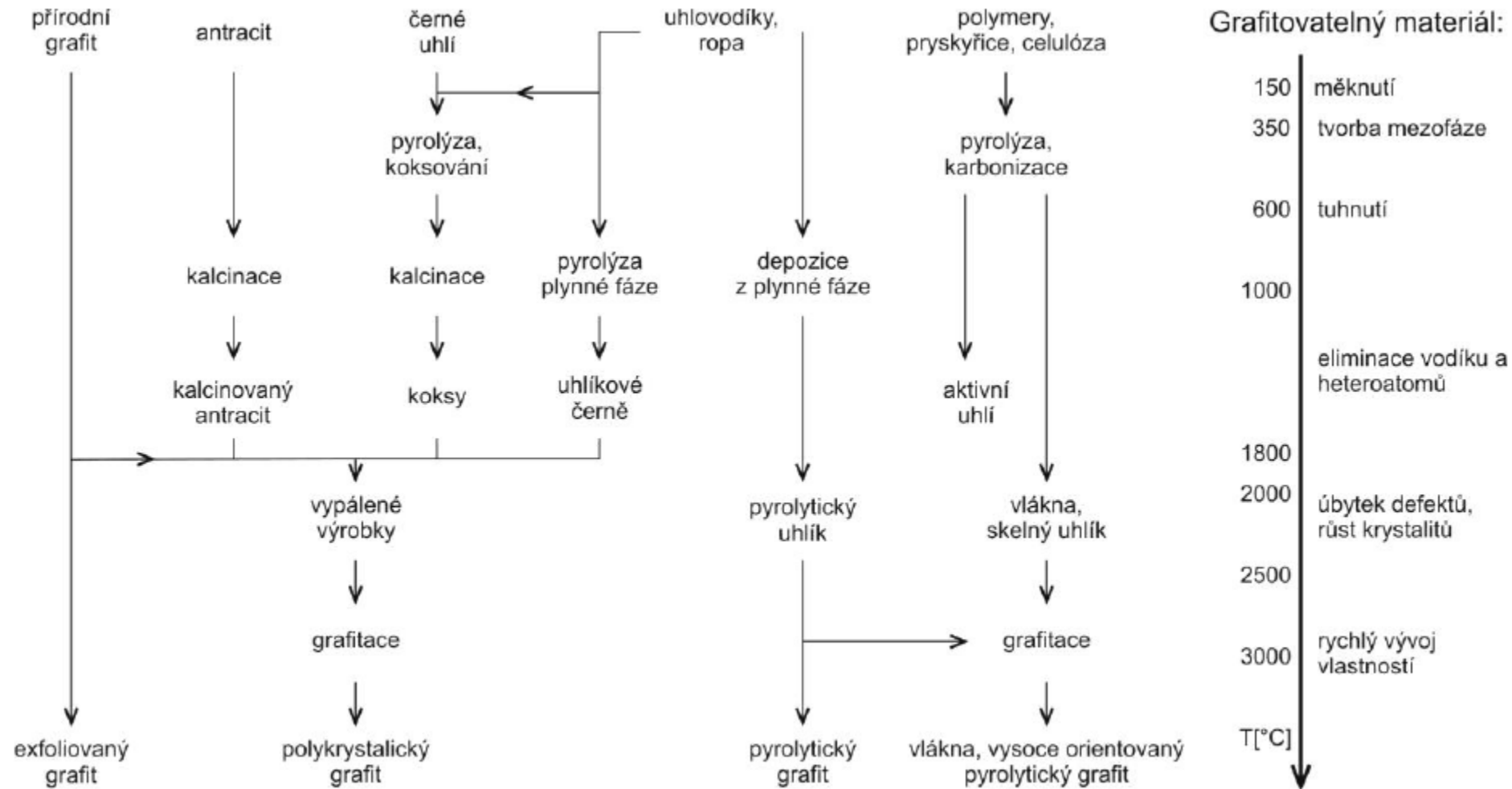
Vodivost pouze po dopování jiným prvkem (nejčastěji borem)

Film diamantu na nosiči (např. křemíku)

Specifika uhlíkových elektrod

- Pomalejší kinetika přenosu náboje, nižší zbytkový proud v porovnání s Pt a Au
- Širší potenciálové okno v anodické i katodické oblasti (vysoké přepětí vodíku a kyslíku) – překrývají potenciálové okno Hg a Pt elektrod
- Nejširší potenciálové okno má v neutrálním prostředí skelný uhlík: $-0,75$ V až $+1,0$ V.
- Neinteragují s analyty v průběhu elektrodové reakce
- Většinou nízká cena

Uhlíkové materiály (Francouzská společnost pro studium uhlíku (GFEC)) - libovolná pevná forma uhlíku černé barvy, obsahující eventuálně ve stopovém množství další atomy



Obr. 3.1 Schéma výroby uhlíkových materiálů

Spektrální uhlík (grafit)

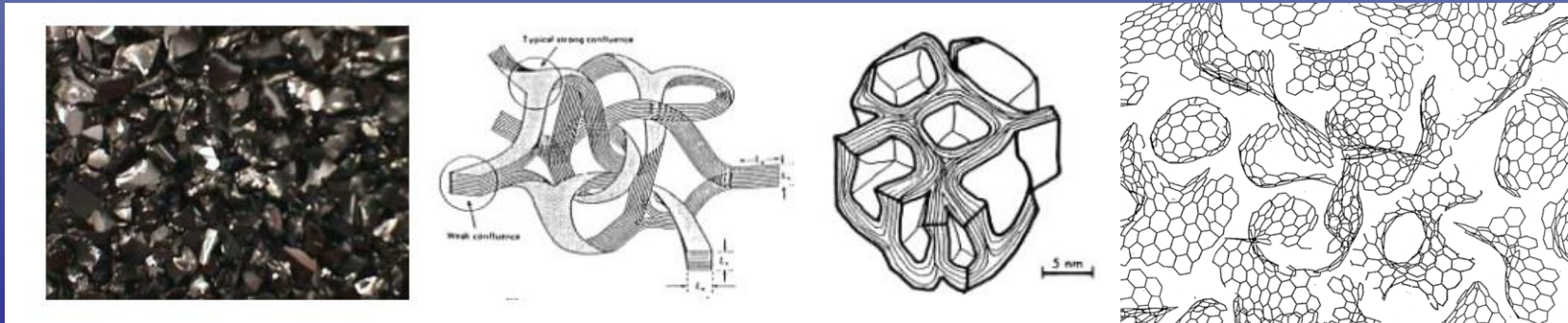
- Porézní materiál
- Nedefinovaný geometrický povrch
- Vzlínaní roztoků – nutnost impregnace (vosk) ve vakuu po dobu několika hodin (PIGE a WIGE – paraffin and wax impregnated carbon electrodes)

Pyrolytický grafit

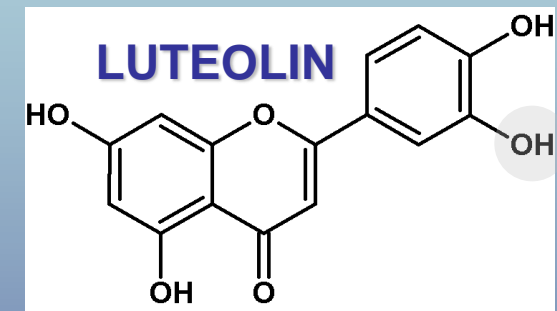
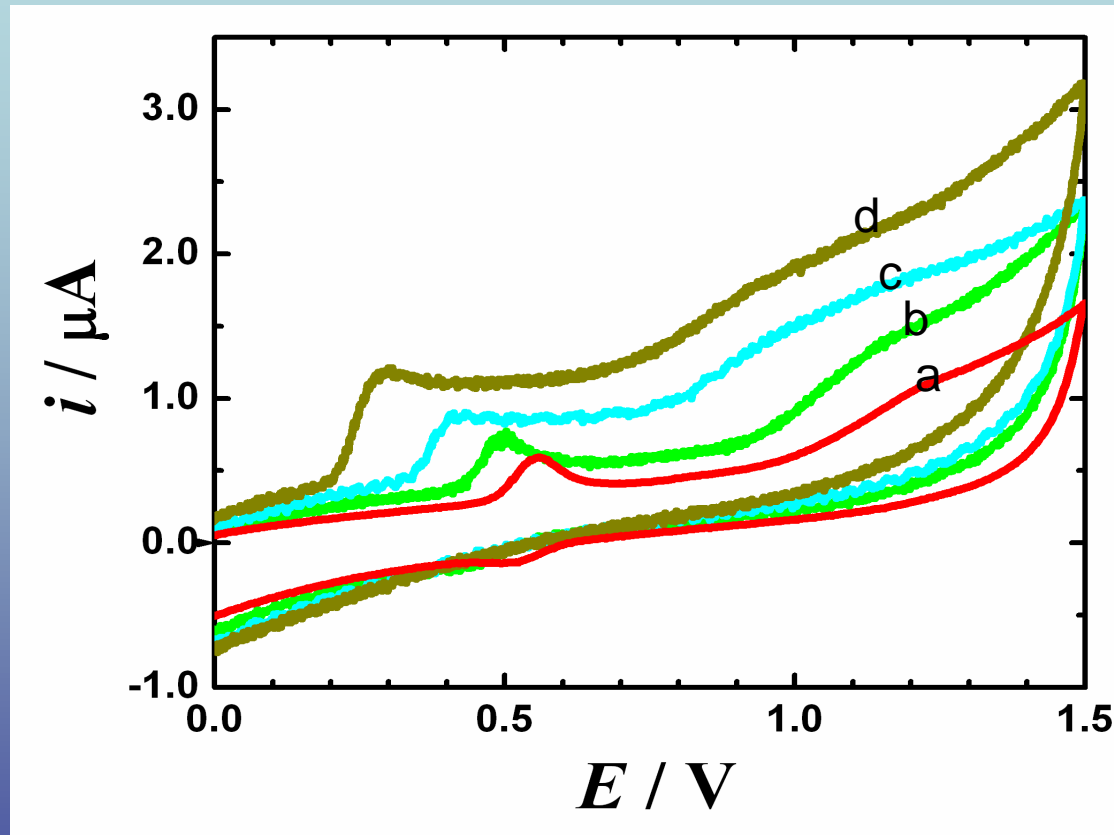
- Monolitický materiál získaný chemickým rozkladem těkavých uhlovodíkových sloučenin (metan, propan, etylen, benzen, propylen a acetylen) na povrchu normálního grafitu při teplotách nad 1700°C.
- Nepropustný pro plyny
- Tepelná a elektrická vodivost závisí na stupni orientace vrstev a je vyšší ve směru grafitových rovin
- Měrný elektrický odpor $(5\text{--}6000)\cdot 10^{-4} \Omega\text{.cm}$

Skelný uhlík (glassy, vitreous carbon)

- Monolitická, neuspořádaná, nekrystalická (negrafitující) uhlíková struktura s lomem podobným sklu – náhodně propletené grafenové roviny
- Velká isotropie strukturních i fyzikálních vlastností
- Prakticky nepropustný pro kapaliny i plyny, neporézní – definovaný geometrický povrch
- Vyrábí se pyrolyzou termosetových polymerů (tepelně tvrditelné phenolformaldehydové pryskyřice, regenerovaná celulóza), které mají vytvořenu trojrozměrnou strukturní síť. Karbonizace je prováděna běžně na 800 – 1200°C, podle účelu využití následuje další zpracování do 3000°C.
- Leštění – zrcadlový lesk
- Netvoří intermetalické sloučeniny s kovy – nosič kovových filmů
- Měrný elektrický odpor $(10\text{-}50)\cdot 10^{-6} \Omega\text{m}$



Cyklická voltametrie na GCE



Výsek cyklických voltamogramů 0.5 mM luteolinu na elektrodě ze skelného uhlíku v Brittonově – Robinsonově pufru při různých hodnotách pH: a) 6 b) 6.9
c) 8.4 d) 10. Rychlosť polarizacie 0.065 V/s
Voltamogramy měřeny od -0,3 V do 1,5 V a zpět.

Formy skelného uhlíku

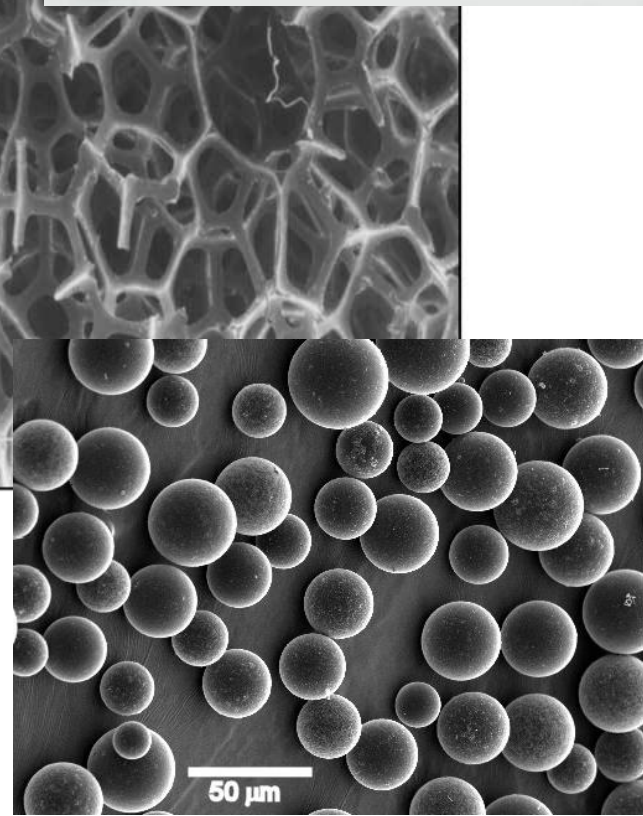
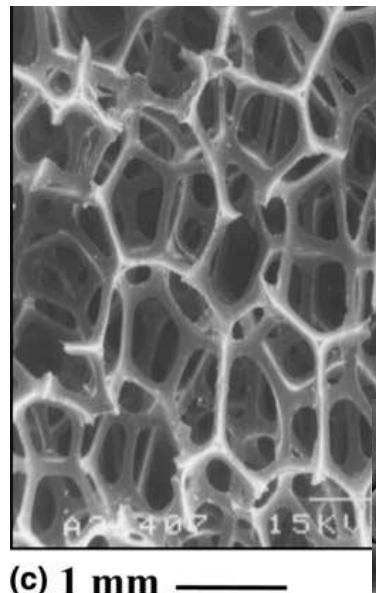
Blok

x

Reticulated
Vitrous Carbon

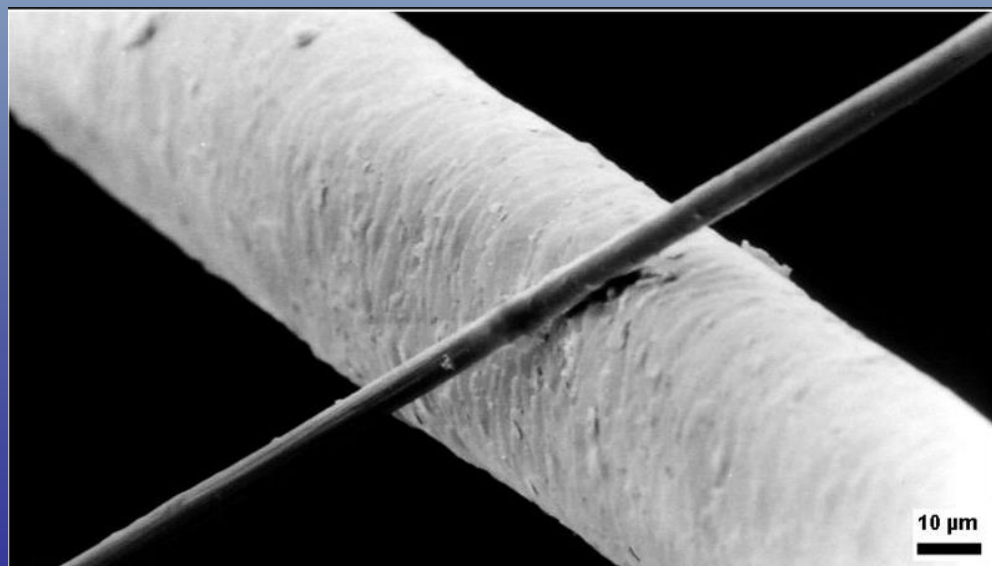
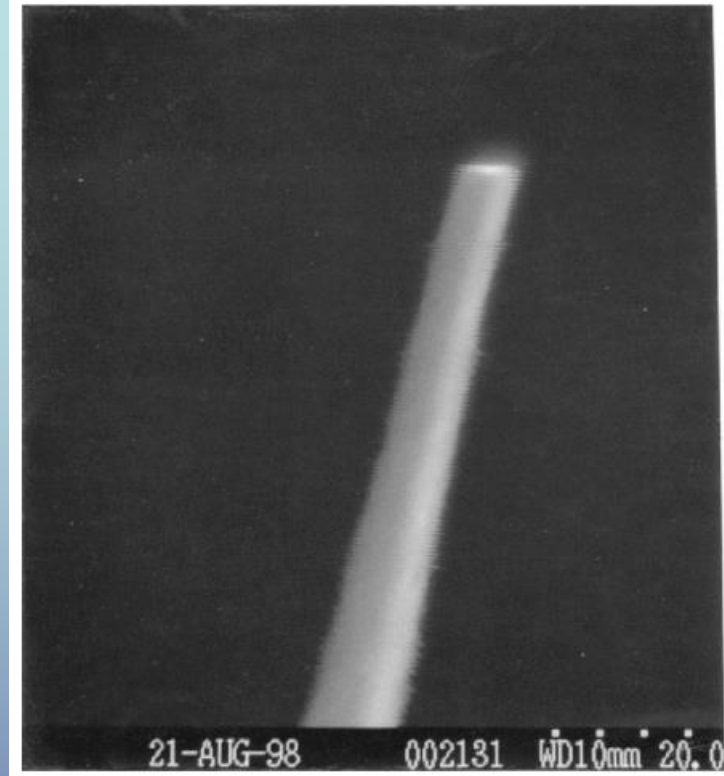
x

mikrokuličky

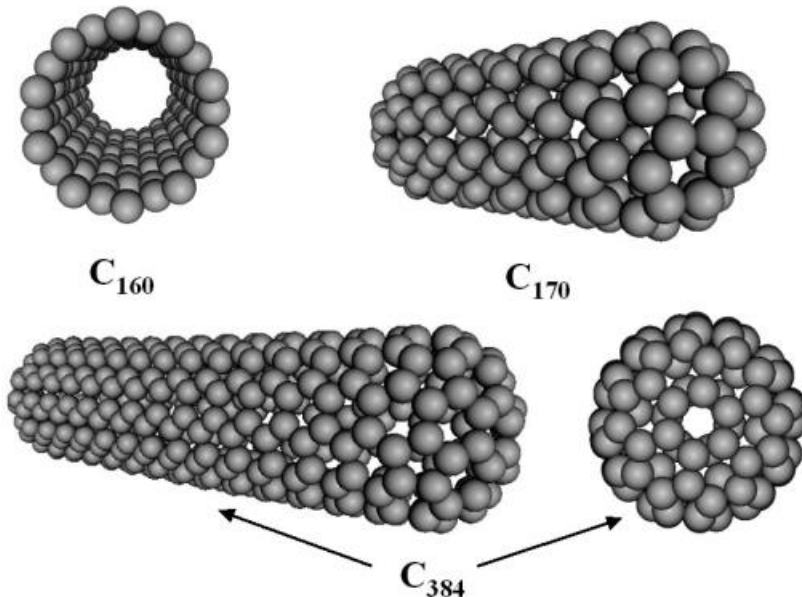


Uhlíková vlákna

- Výroba pyrolýzou polymerních textilií nebo chemickou depozicí par uhlíkatých molekul
- Průměr vlákna 5-20 μm
- Izolace epoxidem ve skleněné kapiláře
- Biokompatibilita –
- *in vitro* a *in vivo* studie biologicky aktivních látek
- Mikroelektrody



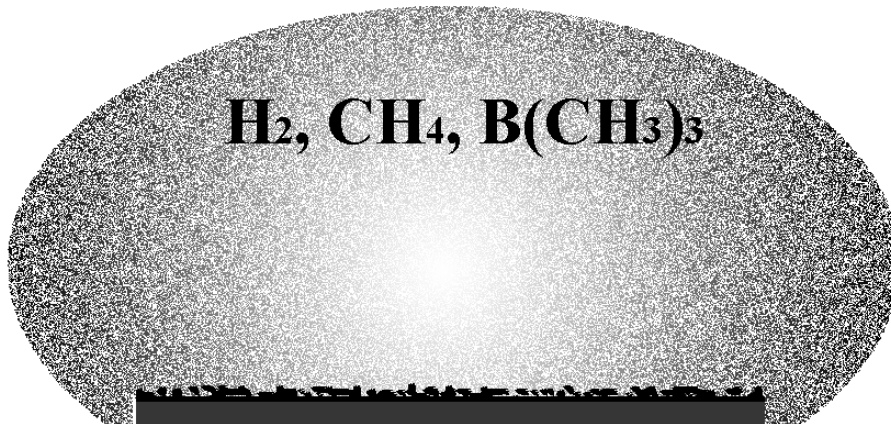
Nanotrubice



Grafenová rovina,
deformovaná do
válce nebo koule

- Polovodivé či vodivé elektrické vlastnosti v závislosti na typu či přítomnosti dalších atomů (bór, dusík)
- Single walled nanotubes (SWNT)
- Multi walled nanotubes (SWNT)
- Používají se k modifikaci elektrod

Borem dopovaná diamantová elektroda



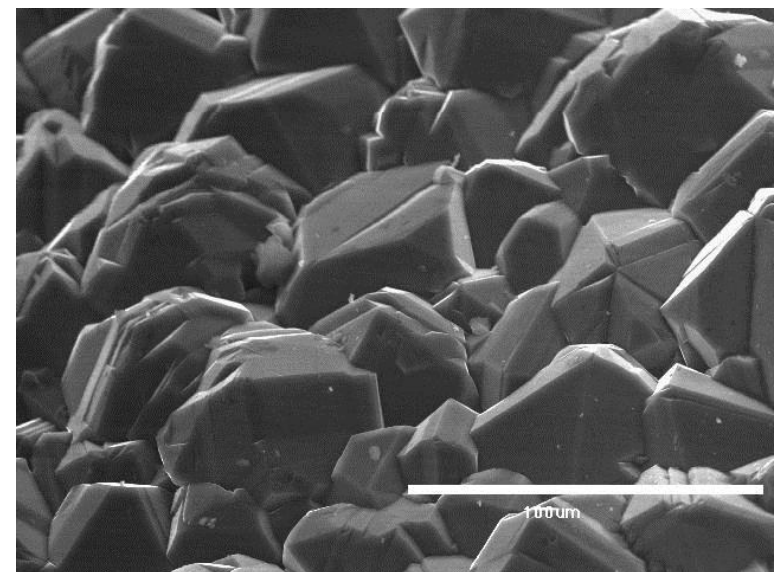
Křemíkový čip, kovový plíšek

Vodík, zdroj uhlíku (methan), zdroj
boru (trimethylbor)

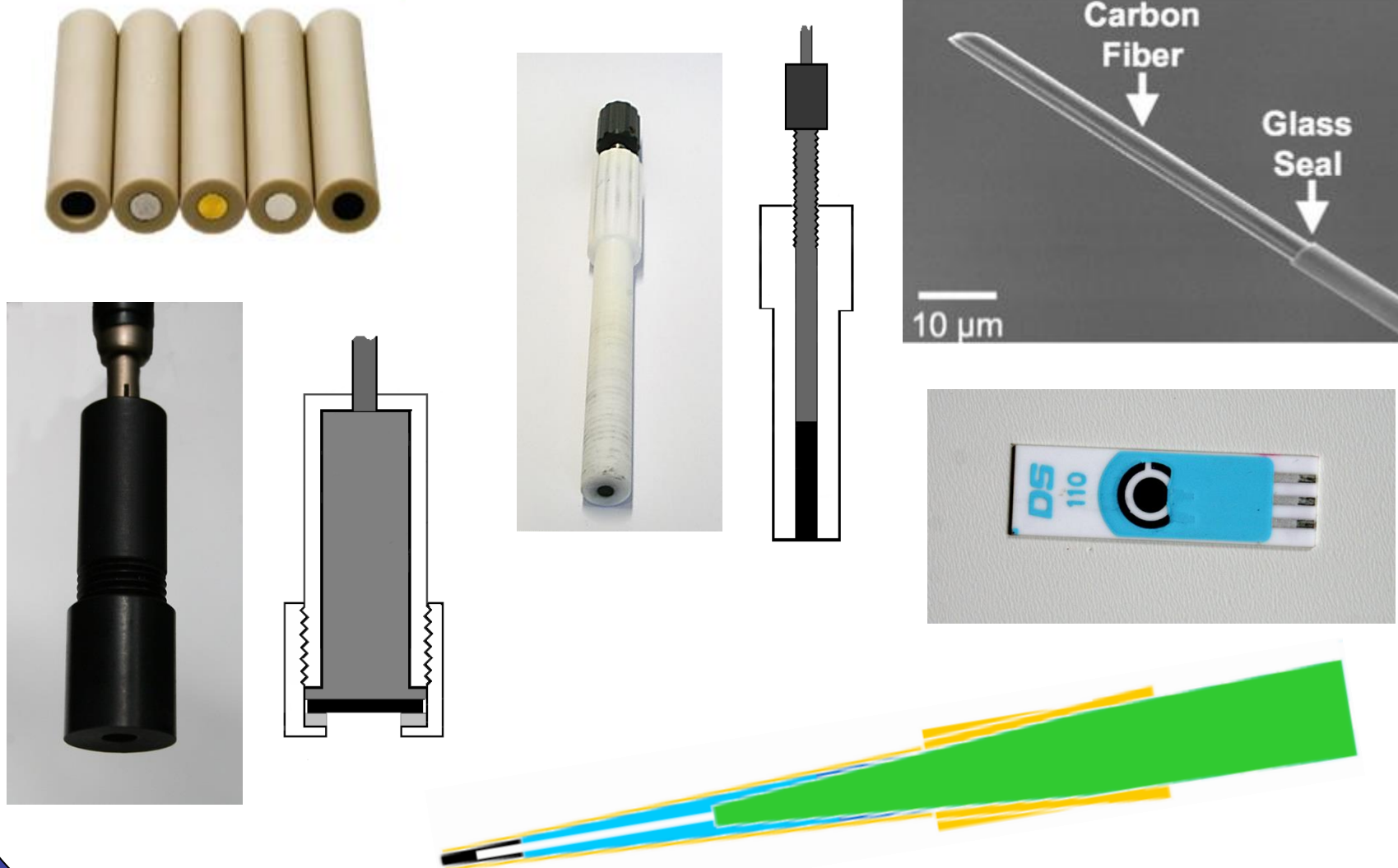
Krystalizační centra na povrchu

Aktivace (teplota, mikrovlny)

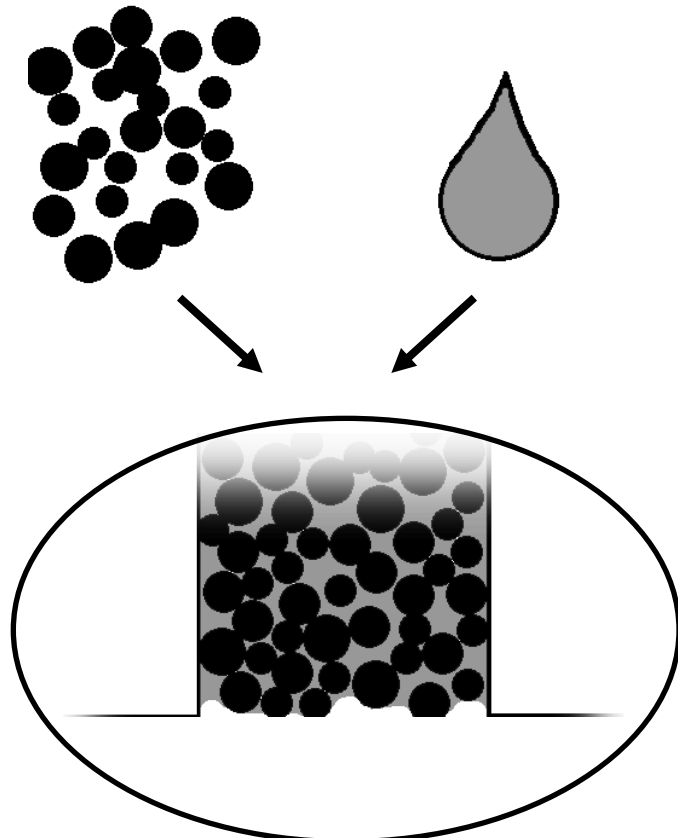
Nárůst diamantového filmu



Fyzická podoba elektrod



Uhlíkové kompozitní elektrody



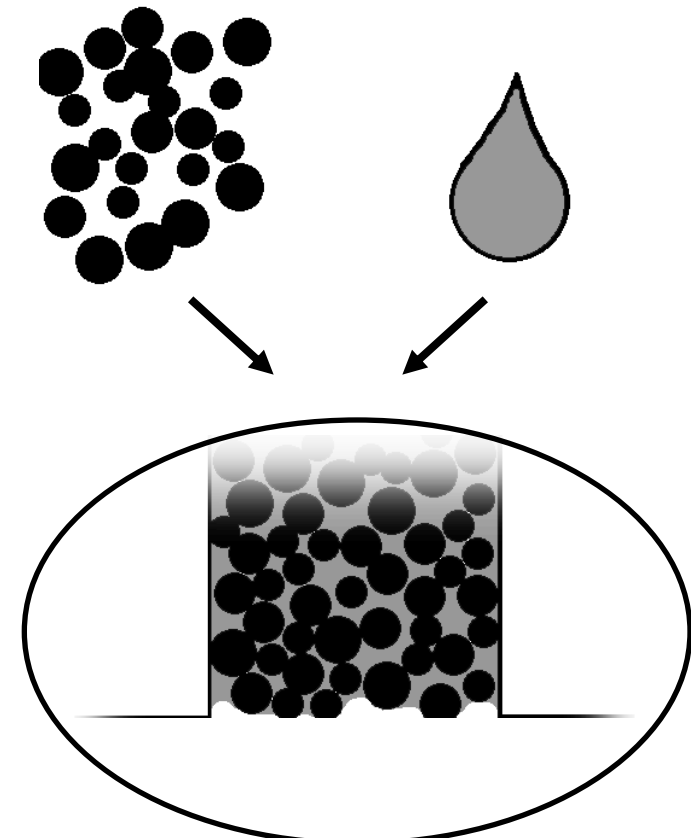
Heterogenní elektrody – vodič a pojivo, většinou nevodivé, případně další příměsi

Pastovité (kapalné pojivo) nebo pevné (většinou polymerní pojivo)

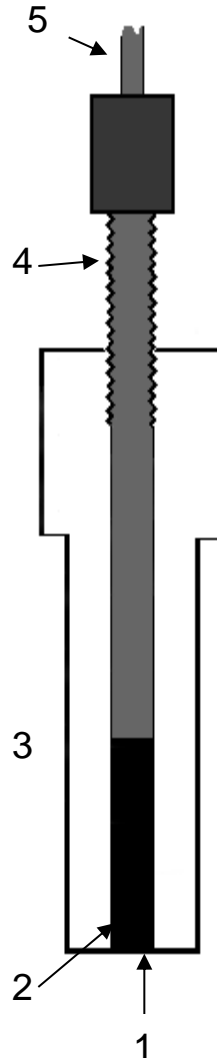
Příměsi (modifikátory) – akumulace analytu, enzymy, katalyzátory...

Uhlíková pastová elektroda

- Původní představa – kapající elektroda
- Finální stav – pastovitá směs uhlíkového prášku, kapaliny a případně dalších složek → modifikace elektrody
- Uhlík: grafit, skelné mikrokuličky, nanotrubičky, fulereny
Kapalina: minerální olej, trikresylfosfát, pokusy s polárními kapalinami, RTILy



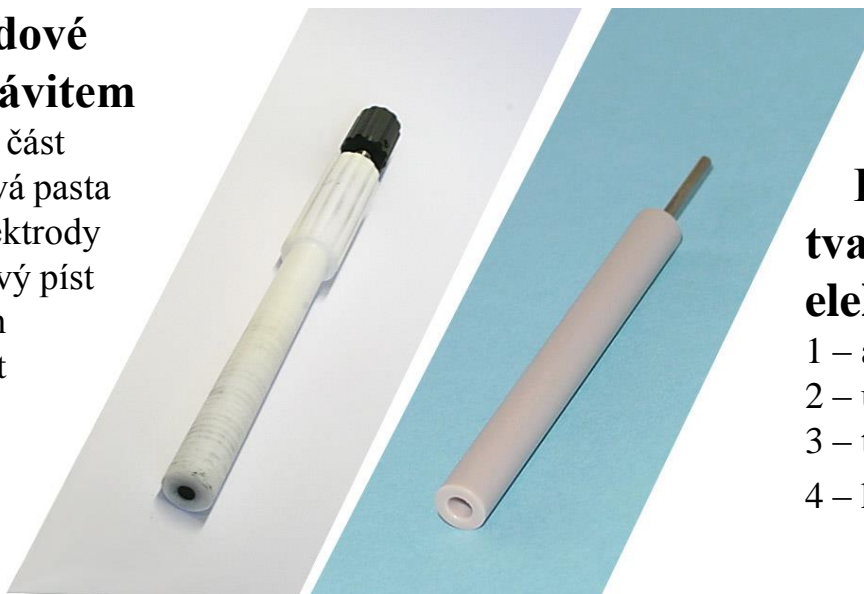
Elektrodová těla



**Elektrodové
tělo se závitem**

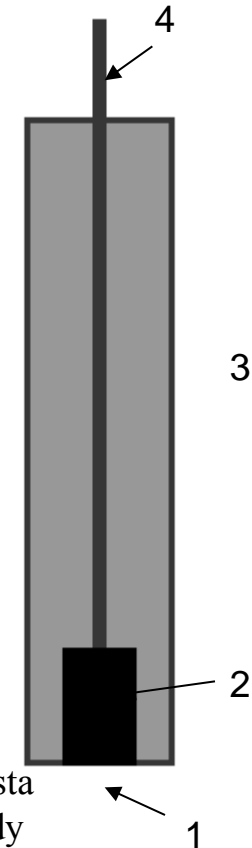
1 – aktivní část
2 – uhlíková pasta
3 – tělo elektrody
4 – nerezový píst
se závitem
5 – kontakt

- Vylepšení původního elektrodového těla, vyžadujícího komplikovanou manipulaci, pístem a závitem

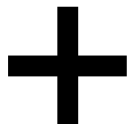


**Původní
tvar těla
elektrody**

1 – aktivní část
2 – uhlíková pasta
3 – tělo elektrody
4 – kontakt



Výhody a nevýhody

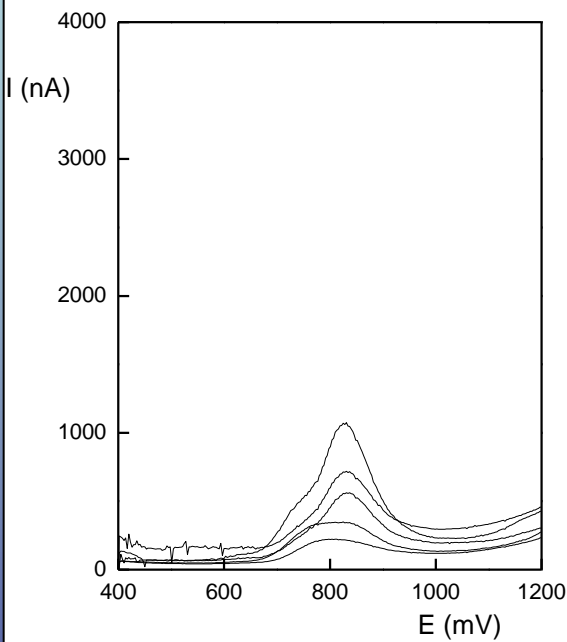


- Obnovitelnost povrchu
- „Pole mikroelektrod“ – nízké pozadí, široké potenciálové okno
- Snadná modifikace
- Možnost miniaturizace, kompatibilita s biologickými vzorky

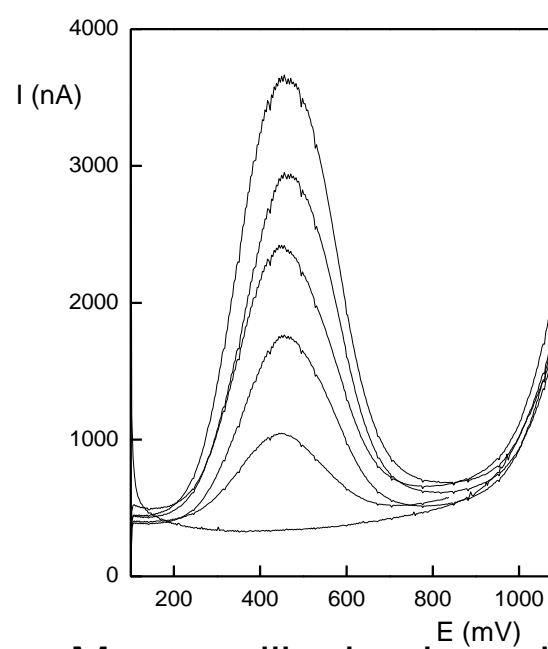


- Horší reprodukovatelnost
- Nižší mechanická a chemická odolnost
- Omezené použití pro katodické redukce – přítomnost kyslíku

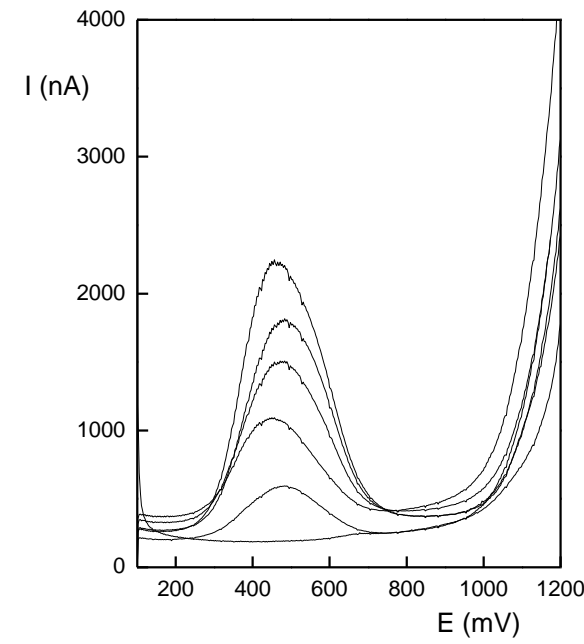
Modifikace pasty jílovými materiály (Stanovení 4-aminobifenylu)



Bez akumulace
(koncentrační rozmezí
 $6 \cdot 10^{-8}$ až $6 \cdot 10^{-8}$ mol·l $^{-1}$)
Mez detekce $4 \cdot 10^{-6}$ mol·l $^{-1}$

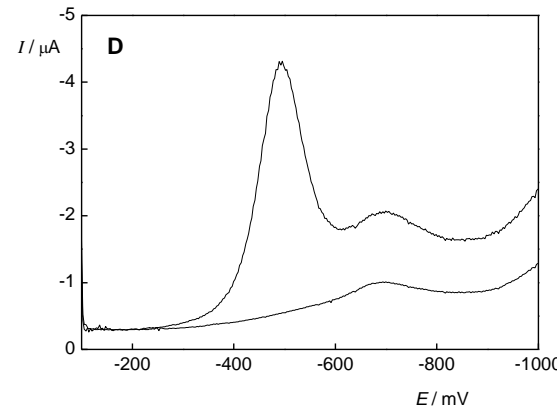
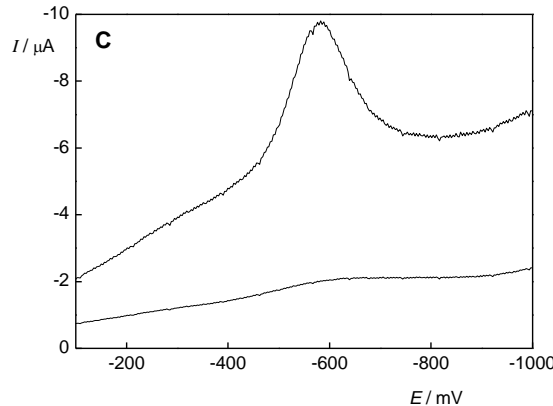
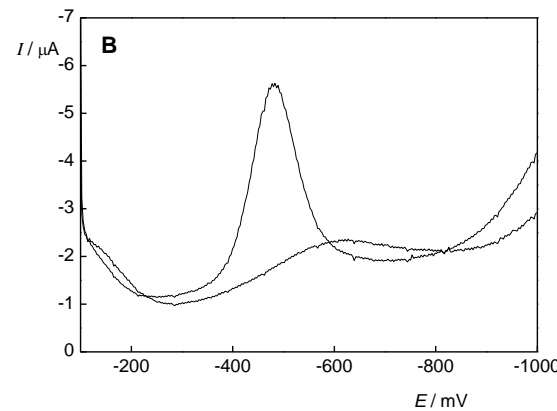
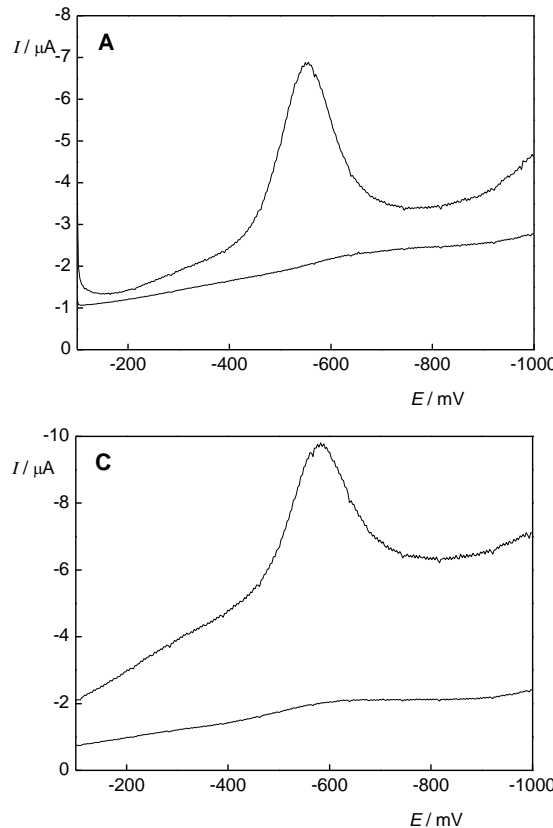


Montmorillonit, akumulace
5 min (koncentrační
rozmezí $1 \cdot 10^{-5}$ až $8 \cdot 10^{-5}$
mol·l $^{-1}$)
Mez detekce $8 \cdot 10^{-7}$ mol·l $^{-1}$



Sepiolit, akumulace 5 min
(koncentrační rozmezí
 $6 \cdot 10^{-8}$ až $6 \cdot 10^{-8}$ mol·l $^{-1}$)
Mez detekce $8 \cdot 10^{-7}$ mol·l $^{-1}$

Přítomnost kyslíku v pastě (Stanovení 2-nitrofenolu)



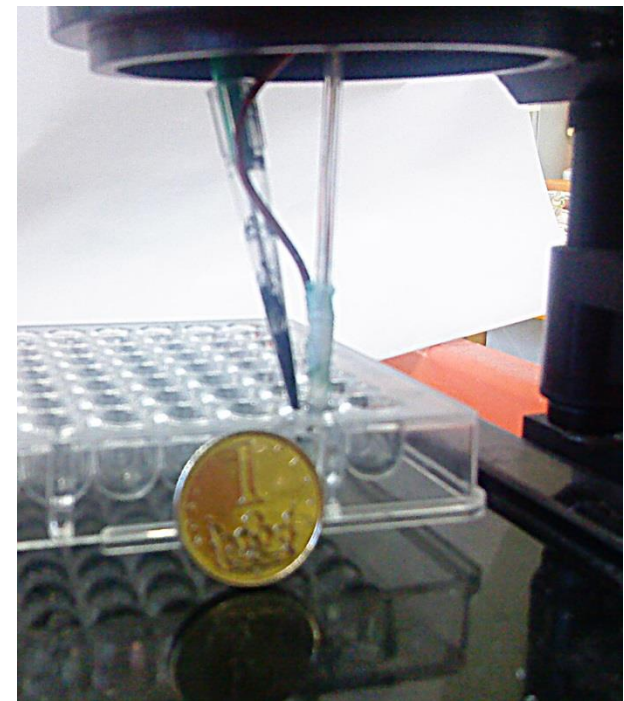
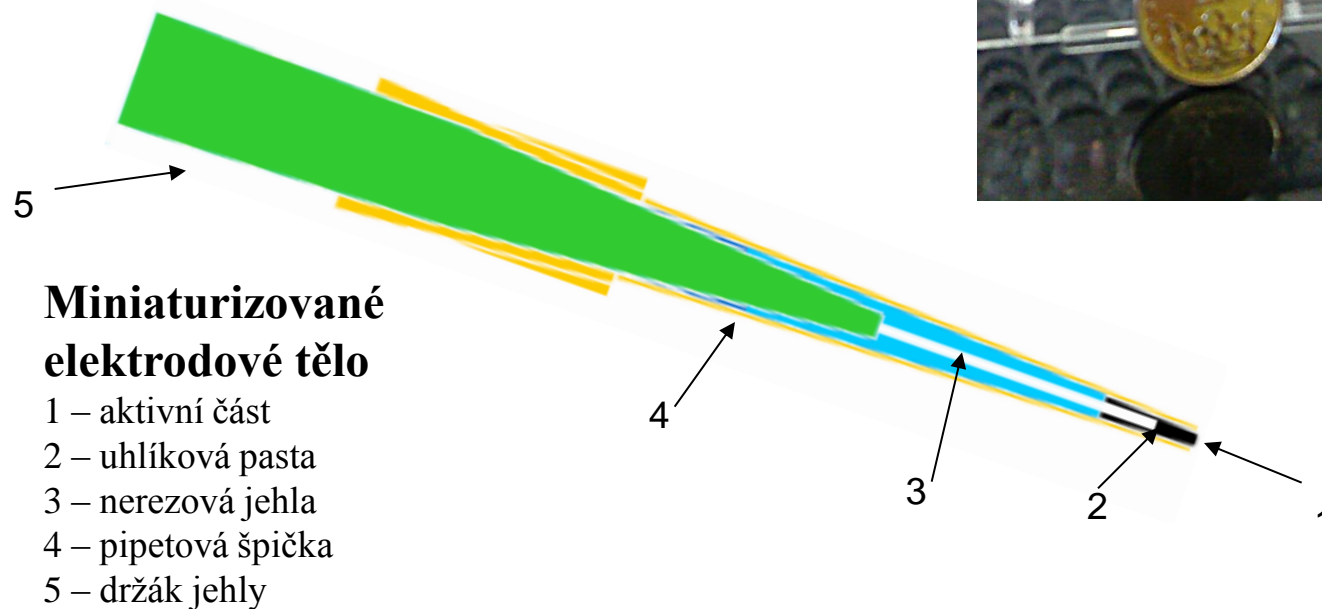
Závisí na materiu
(pojivu i plnivu)

Zčasti odstranitelný –
problémy zejména s
opakovatelností

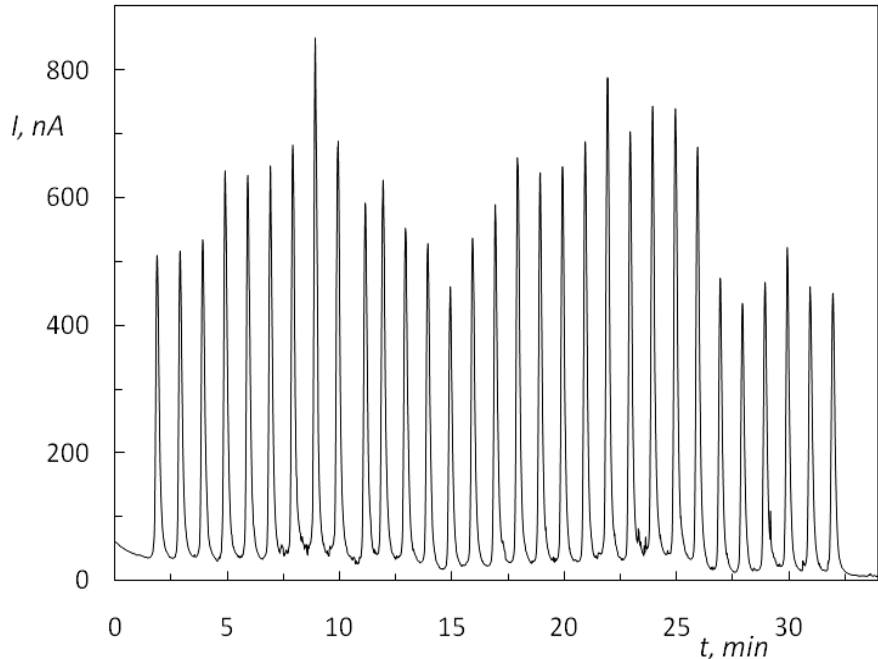
CPE z grafitu (A, B) a
mikrokuliček skelného
uhlíku (C, D) a z
trikresylfosfátu (A, C) a
minerálního oleje (B, D).
Stanovení 2-NP
(koncentrace $1 \cdot 10^{-4} \text{ mol} \cdot \text{l}^{-1}$)

Miniaturizace CPE

- Stanovení v malém objemu vzorku → úspora materiálu
- Problém s mechanickou odolností těla elektrody

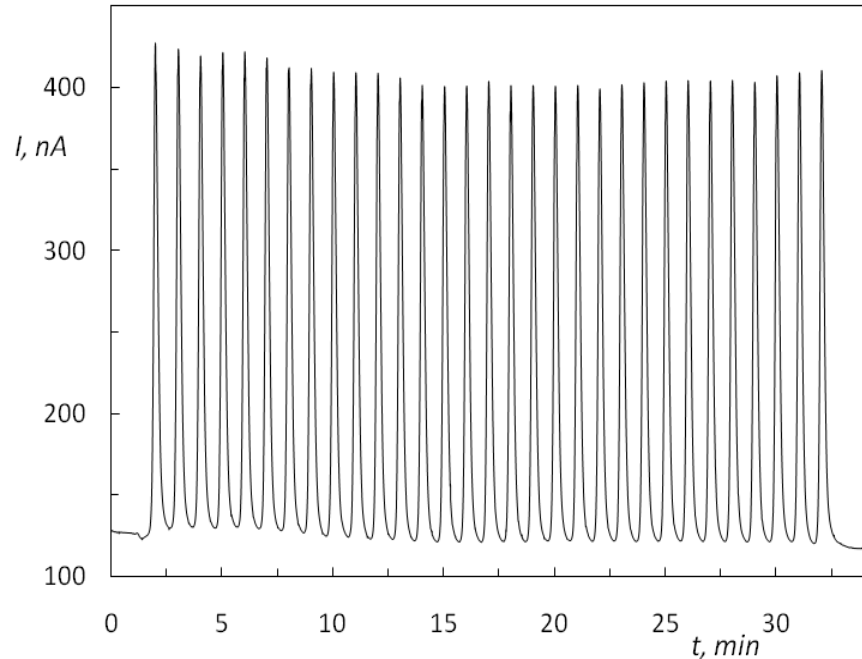


HPLC – porovnání stability



Pasta z mikrokuliček skelného uhlíku a silikonového oleje
(aminoglutethimid, $c = 10^{-4}$ M)

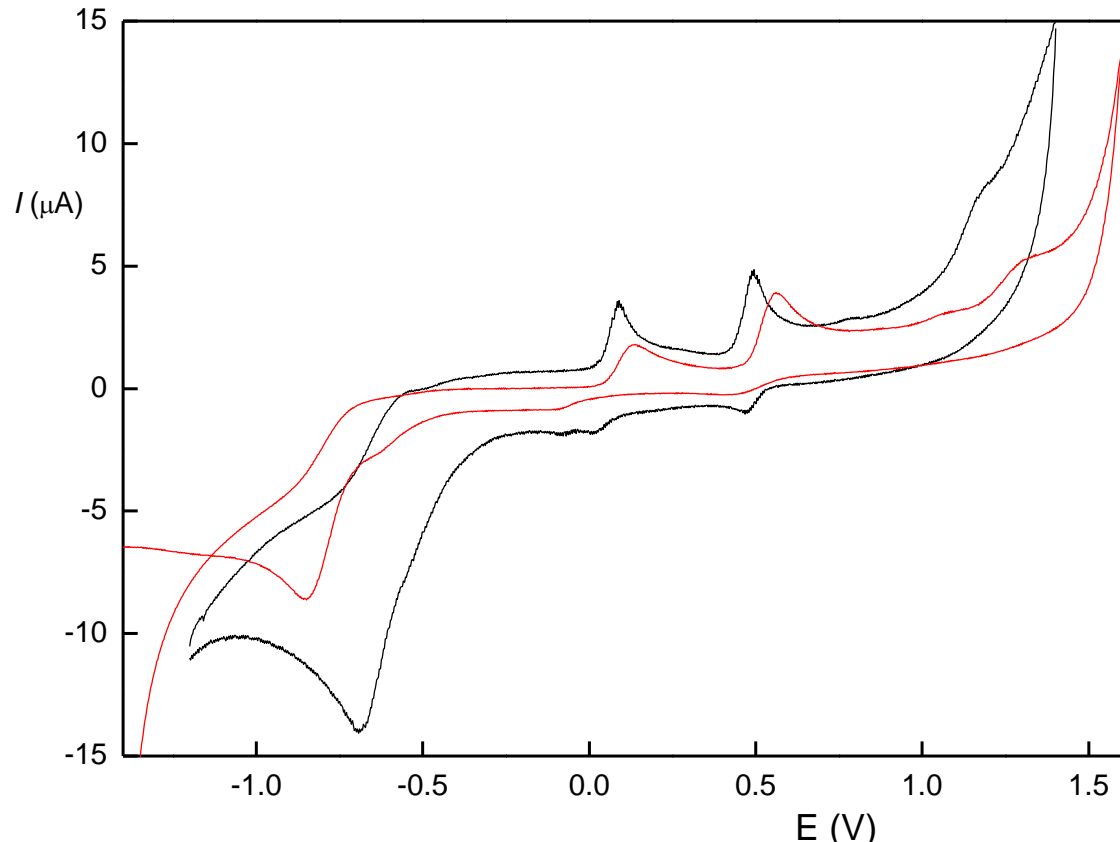
RSD 17 % ($n = 30$)



Pasta z mikrokuliček skelného uhlíku a minerálního oleje
(aminoglutethimid, $c = 10^{-4}$ M)

RSD 1,5 % ($n = 30$)

Porovnání některých uhlíkových elektrod



2A5NP ($c = 10^{-4}$ M) na BDDE (červená) a CPE (černá)

Srovnání:

Šířky potenciálového okna

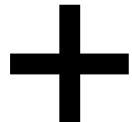
Proudu pozadí

Reverzibility signálu

Opakovatelnosti měření

Robustnosti, snadnosti zacházení

Borem dopovaná diamantová elektroda

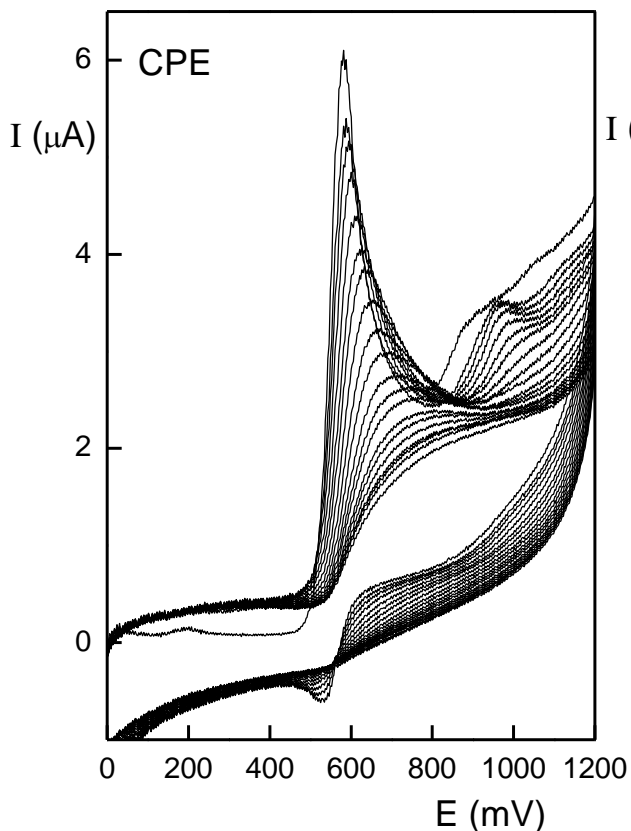


- Chemická a fyzikální odolnost
- Malý sklon k pasivaci
- Široké potenciálové okno, nízký proud pozadí
- Biokompatibilní, miniaturizovatelné



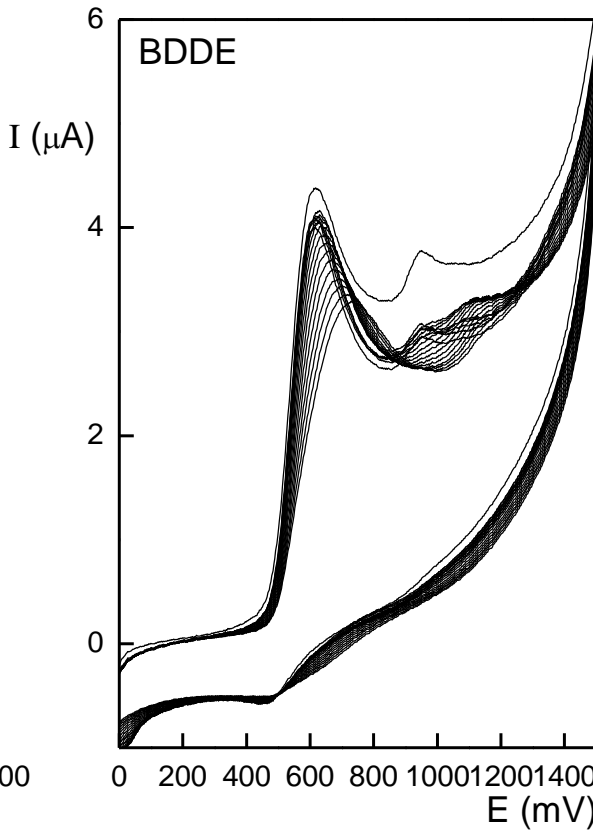
- Nižší reverzibilita
- Lze čistit v podstatě jen elektrochemicky
- Signál závisí na stavu povrchu elektrody

Odolnost pasivaci



2A4NP ($c = 10^{-4}$ M),
opakované skeny na CPE

20. křivka – 60 % pokles



2A4NP ($c = 10^{-4}$ M), opakované
skeny na BDDE

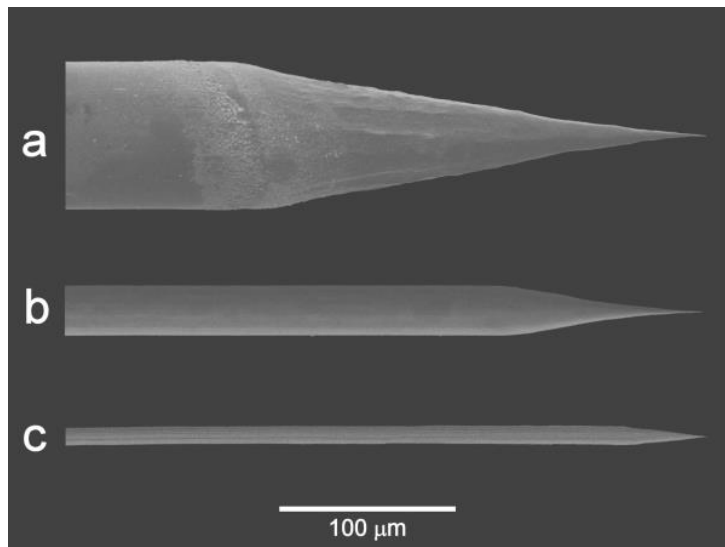
2. až 10. křivka stabilní

20. křivka – 20 % pokles

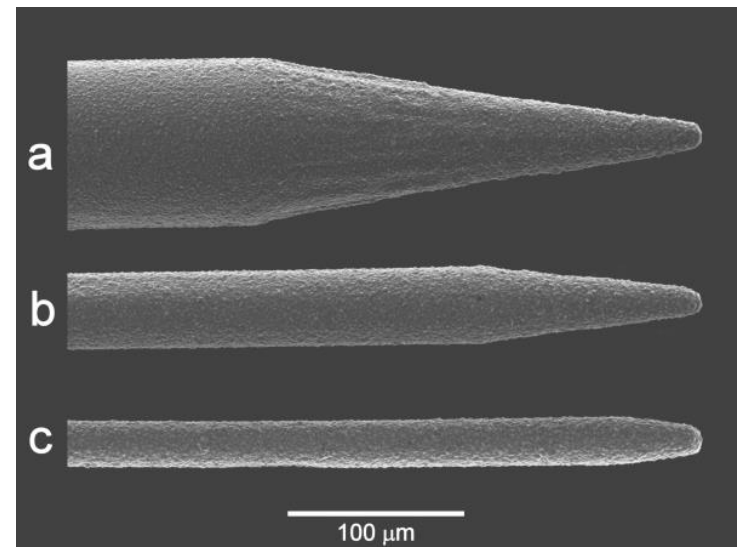
Pasivace slabší,
ale nikoliv
neexistující
Elektrochemické
číštění může být
výhoda i
nevýhoda

Miniaturizace BDDE

Diamantový povlak je možné vyrobit v tloušťce řádově mikrometrické, miniaturizace pak závisí pouze na přípravě vhodného podkladu (zde elektrochemicky leptaná platina).



Platinové hroty



Miniaturizované BDDE

Dotazy?

